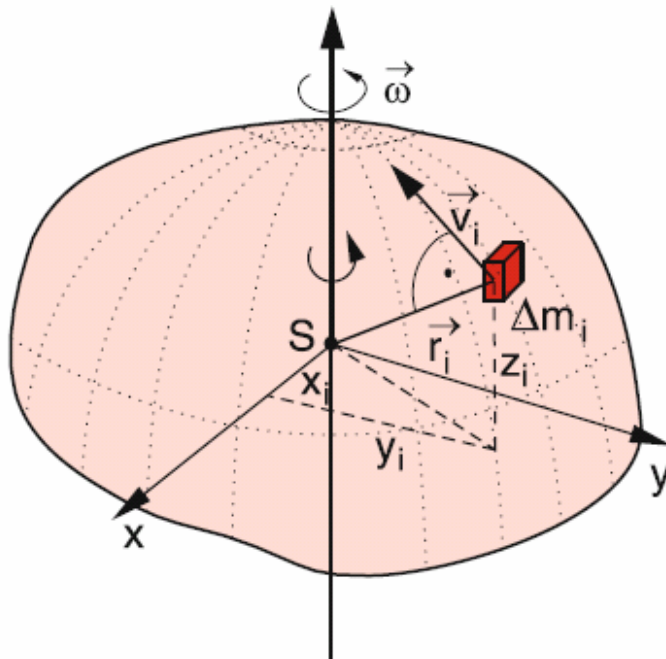


4.7. Rotation des starren Körpers



Rotation des starren Körpers um eine beliebige Achse durch den **Schwerpunkt S**:
Jedes Massenelement Δm trägt zum Drehimpuls und zur Rotationsenergie bei.

$$L_{\omega} = \Delta m_i (r_i \times v_i)$$

$$E_{rot} = \frac{1}{2} I_{\omega} \omega^2$$

4.7. Rotation des Starren Körpers



Trägheitstensor

$$\vec{L} = \int \vec{r} \times (\vec{\omega} \times \vec{r}) dm \equiv \hat{I} \vec{\omega}$$

in
Komponenten \rightarrow

$$L_i = \sum_{j=1}^3 I_{ij} \omega_j$$

mit $\vec{L} = \sum_{i=1}^3 L_i \vec{e}_i$, $\vec{\omega} = \sum_{j=1}^3 \omega_j \vec{e}_j$

Trägheitstensor

und

$$\hat{I} = (I_{ij}) , \quad I_{ij} = \int (r^2 \delta_{ij} - r_i r_j) dm$$

- Trägheitstensor \rightarrow Körpereigenschaft, unabhängig von Drehachse

- symmetrisch: $I_{ij} = I_{ji}$

- positiv definit: $\vec{r} \neq 0 \Rightarrow \vec{r} \cdot (\hat{I} \vec{r}) > 0$

4.7. Rotation des Starren Körpers



Beispiel:

→ Töpferei

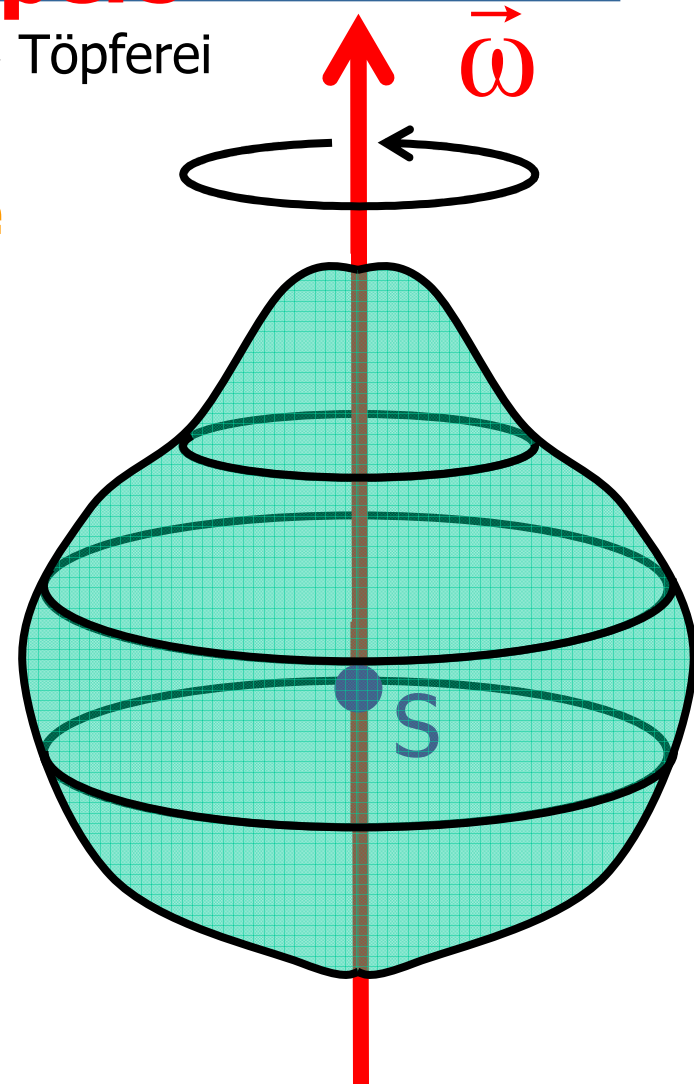
Körper mit Rotationssymmetrie

Schwerpunkt liegt auf Symmetrieachse

Spezialfall: Drehung um Symmetrieachse

$$\Rightarrow \vec{L} \parallel \vec{\omega}, \quad \mathbf{L} = \mathbf{L}_{\omega} = I\omega$$

$$\Rightarrow \boxed{\vec{L} = I\vec{\omega}}$$



4.7. Rotation des starren Körpers



Zusammenhang von \mathbf{I} bzgl. Drehachse \vec{e}_ω mit Tensor \hat{I} :

$$\vec{L} = \hat{I} \vec{\omega} \quad , \quad \vec{\omega} = \omega \vec{e}_\omega$$

$$\vec{L} \vec{e}_\omega = L_\omega = I \omega \quad , \quad \vec{L} \vec{e}_\omega = \vec{e}_\omega \left(\hat{I} \vec{\omega} \right) = \vec{e}_\omega \left(\hat{I} \vec{e}_\omega \right) \omega$$

Folgerung:

$$I = \vec{e}_\omega \left(\hat{I} \vec{e}_\omega \right)$$

Folgerung:

$$T_{rot} = \frac{1}{2} I \omega^2 = \frac{1}{2} \vec{\omega} \left(\hat{I} \vec{\omega} \right)$$

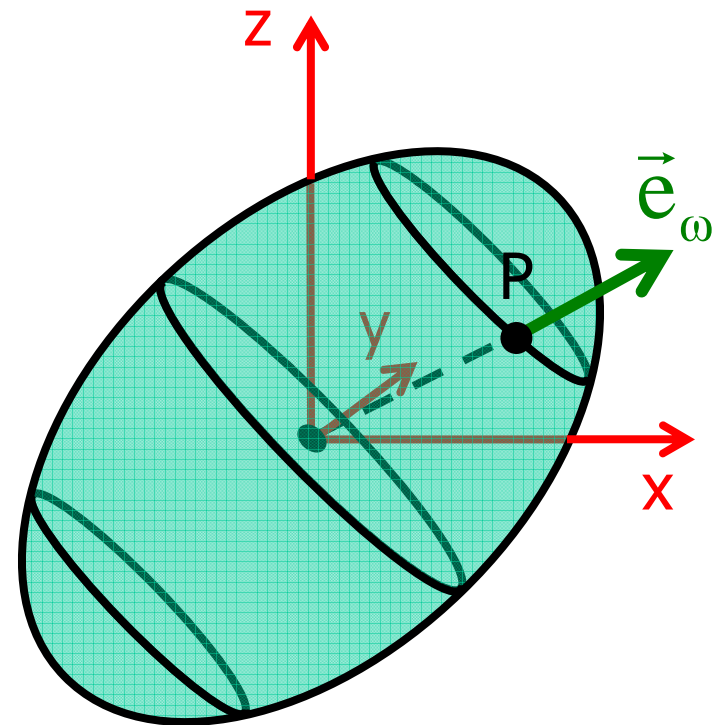
4.7. Rotation des starren Körpers



Definition: Trägheitsellipsoid \rightarrow alle \vec{r} mit $\vec{r} \left(\hat{I} \vec{r} \right) = 1$

$$I = \vec{e}_\omega \left(\hat{I} \vec{e}_\omega \right) \Rightarrow 1 = \frac{\vec{e}_\omega}{\sqrt{I}} \left(\hat{I} \frac{\vec{e}_\omega}{\sqrt{I}} \right)$$

$$\Rightarrow \vec{r}_P = \frac{\vec{e}_\omega}{\sqrt{I}}, \quad I = |\vec{r}_P|^{-2}$$



Tafelrechnung $\Rightarrow \vec{L}$ steht senkrecht auf Trägheitsellipsoid

$\vec{L} \perp \vec{\omega}$
 \Rightarrow i.a. gilt

4.7. Hauptachsen des Trägheitsellipsoides

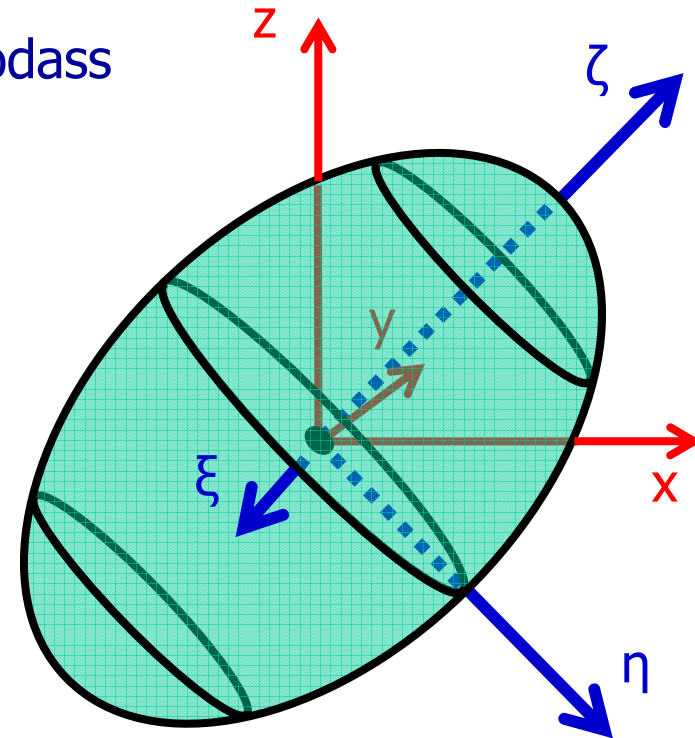
Drehung $(x, y, z) \rightarrow (\zeta, \eta, \xi)$, sodass

$$\hat{I} = \begin{pmatrix} I_\zeta & 0 & 0 \\ 0 & I_\eta & 0 \\ 0 & 0 & I_\xi \end{pmatrix}, \quad I_\zeta \leq I_\eta \leq I_\xi$$

Hauptträgheitsmomente (HTM)

$$\vec{r}_P = \frac{\vec{e}_\omega}{\sqrt{I}} \Rightarrow$$

- | | | |
|---------|---|--------------------|
| ζ | → | große Halbachse |
| η | → | mittlere Halbachse |
| ξ | → | kleine Halbachse |

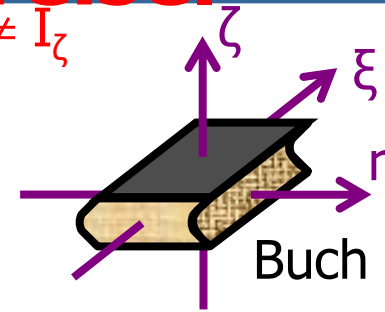
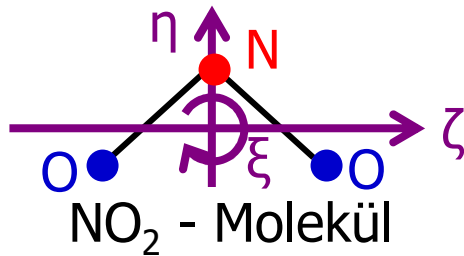


Hauptachsen ξ, η, ζ stehen senkrecht auf Oberfläche

Folgerung: $\vec{L} \parallel \vec{\omega}$ falls $\vec{\omega} \parallel$ Hauptachse

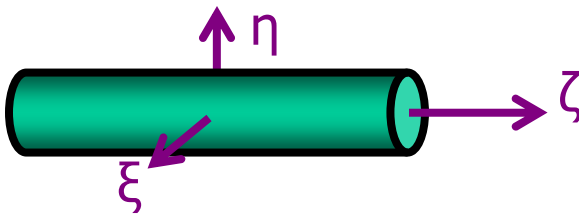
4.7. Trägheitsellipsoid und Kreisel

Asymmetrische Kreisel: $I_\zeta \neq I_\eta \neq I_\xi \neq I_\zeta$

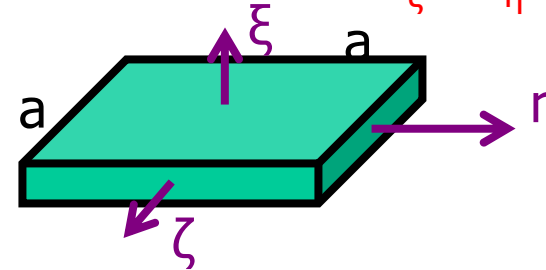


Symmetrische Kreisel: 2 HTMe gleich, z.B. Rotationskörper

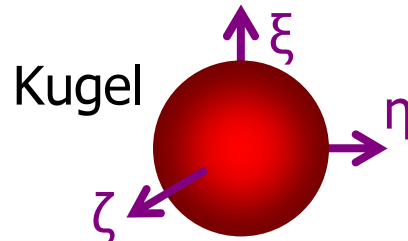
Prolate Kreisel: $I_\zeta < I_\eta = I_\xi$



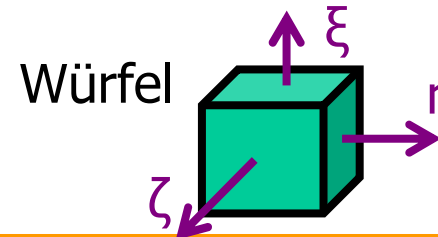
Oblate Kreisel: $I_\zeta = I_\eta < I_\xi$



Sphärische Kreisel: $I_\zeta = I_\eta = I_\xi$



Trägheitsellipsoid → Kugel



4.7. Freie Achsen

Freie Achsen = Mögliche Drehachsen
ohne äußere Drehmomente

← $\vec{\omega} = \text{const.}$

Wegen $\vec{\omega} \nparallel \vec{L} \Rightarrow \frac{d\vec{L}}{dt} \neq \vec{0} \Rightarrow \vec{M}^{(\text{ext})} \neq \vec{0}$
folgt:

Freie Achse \Leftrightarrow $\vec{\omega} \parallel \vec{L}$ \Leftrightarrow Hauptachse
(samt Entartung bei Symmetrie)

Stabilität freier Achsen:

große Halbachse	ζ	→	stabil gegen <u>kleine</u> Störung
mittlere Halbachse	η	→	instabil
kleine Halbachse	ξ	→	stabil